

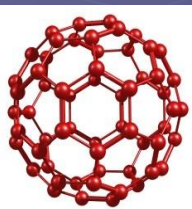
Детекция абиогенных наночастиц

Обзор основных методов

виды наноматериалов

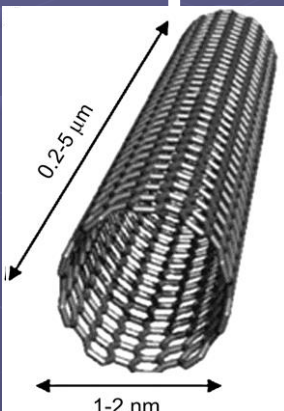
на основании форм-
фактора

наночастицы

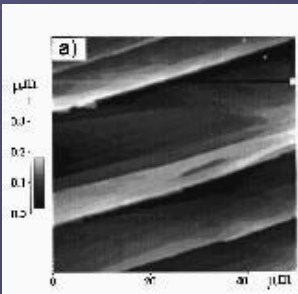


1 нм

нанотрубки,
нановолокна



нанопленки,
нанопокрытия



на основании
химического состава

металлические
*Au, Ag, Pt, Pd,
Ru, Ni, Cu*

оксиды металлов и
неметаллов
*SiO₂, Al₂O₃, TiO₂, SnO₂,
ZnO, MoO₃, V₂O₅, PbO,
Fe₂O₃, NiO*

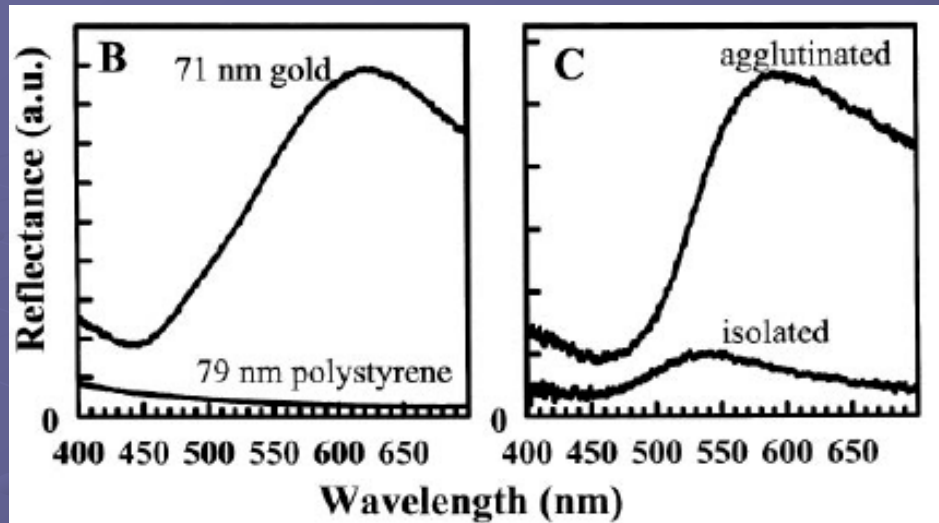
полупроводниковые
*CdS, CdSe, PbS,
PbTe, GaN, GaAs,
InN*

углеродные
C₆₀, C₇₀,
нанотрубы

органические
полимеры
дендримеры

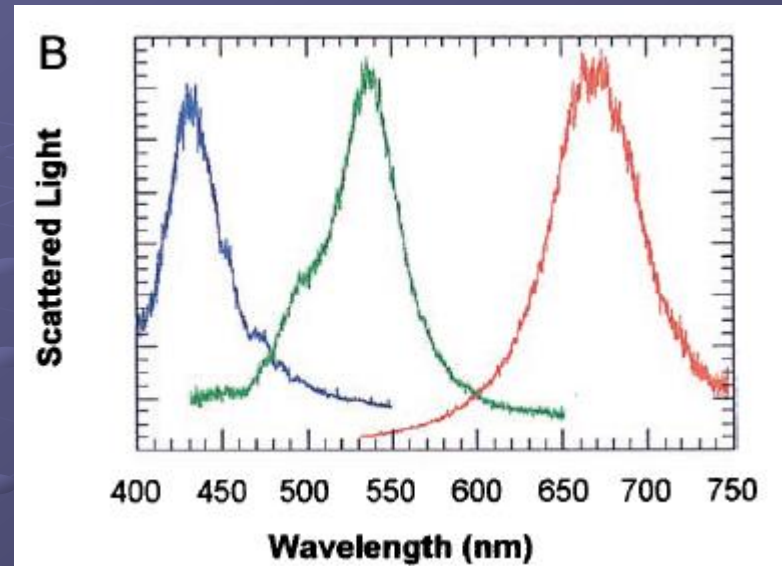
наноглины
*{[Si_nAl_m]Mg_jO₁₀(OH)₂
x Na_k, K_k или Ca_k}*

Наночастицы серебра и золота характеризуются наличием плазмонно-резонансного поглощения света



В: Профили упругого рассеяния света наночастицами золота и полистирольными наночастицами

С : Возрастание интенсивности упругого рассеяния света при слипании 12 нм наночастиц золота



Профили упругого рассеяния света наночастицами золота различного размера

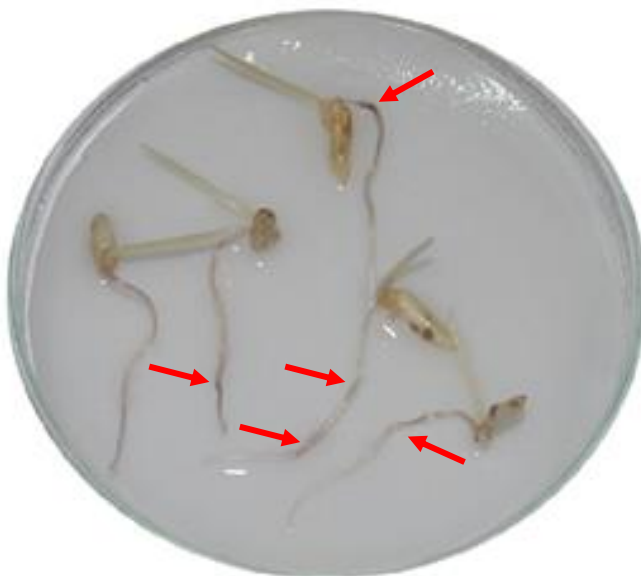
Schultz et al. PNAS 2000

ОБЪЕКТ ИССЛЕДОВАНИЯ - ПРОРОСТКИ ЗЛАКОВ.

24 часа инкубации
с коллоидным золотом 6.9 нм

24 часа инкубации
с коллоидным золотом 12 нм

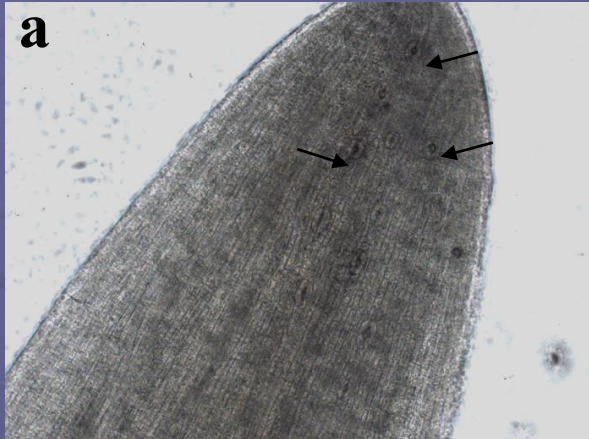
Красные стрелки указывают на окрашенные зоны корня и колеоптиля
проростков риса *Oryza sativa L.*



Тотальные препараты проростков риса после инкубации с коллоидным золотом 12 нм.

Зоны хроматического окрашивания в разных зонах проростка

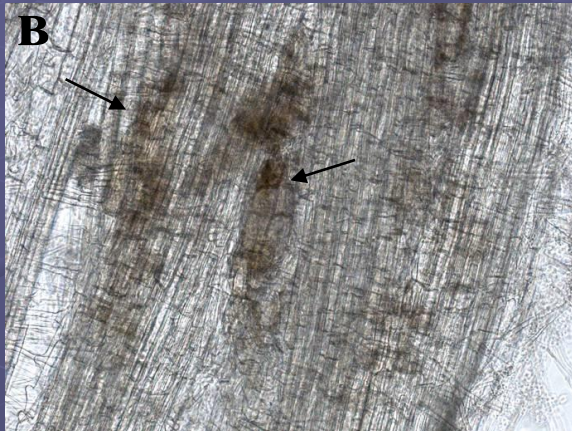
колооптиль



проводящий пучок
колооптиля

проростка

зона перехода
корня в стебель

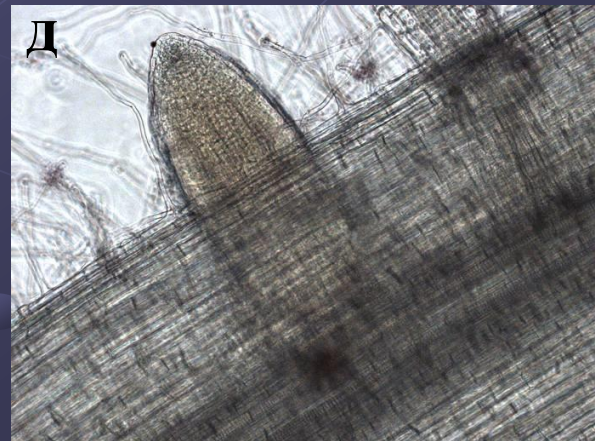
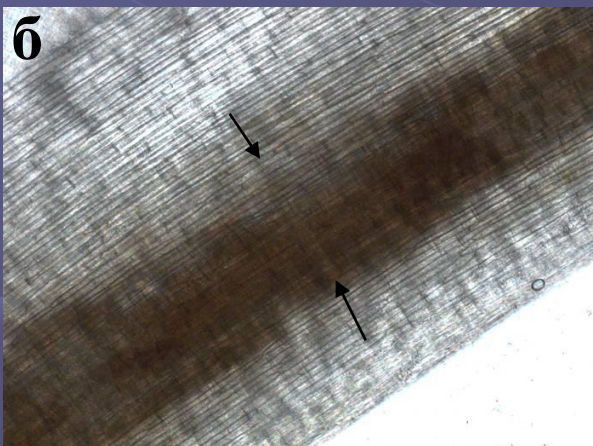


Стрелки указывают на аккумуляцию частиц в:
а – устьицах
б – пучке
в – обкладочных клетках сосуда листа

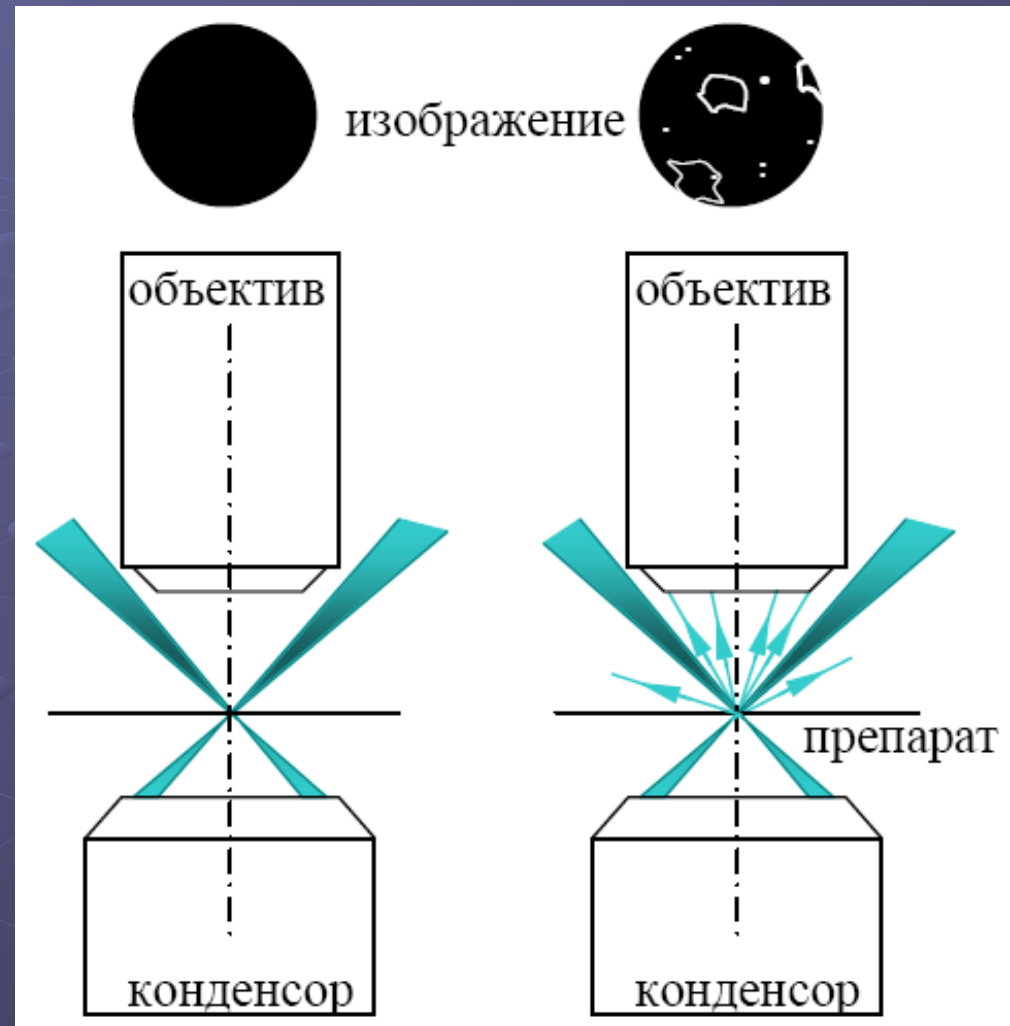
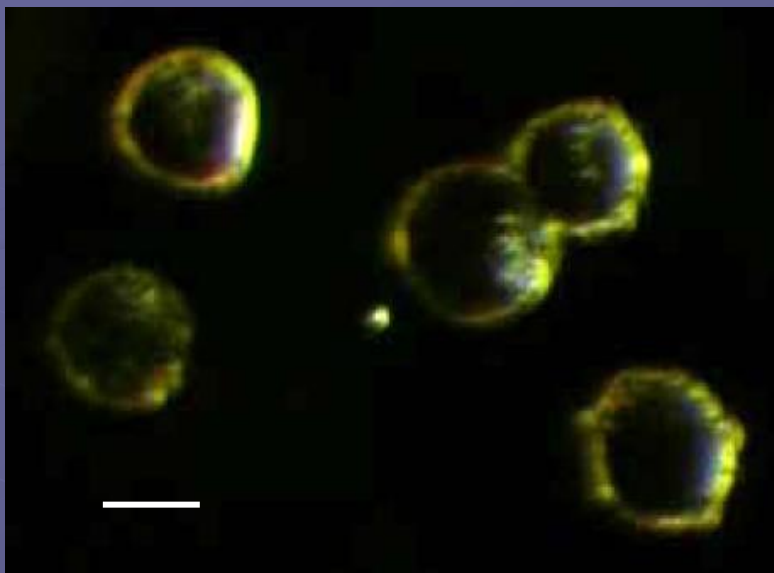
основной корень



боковой корень

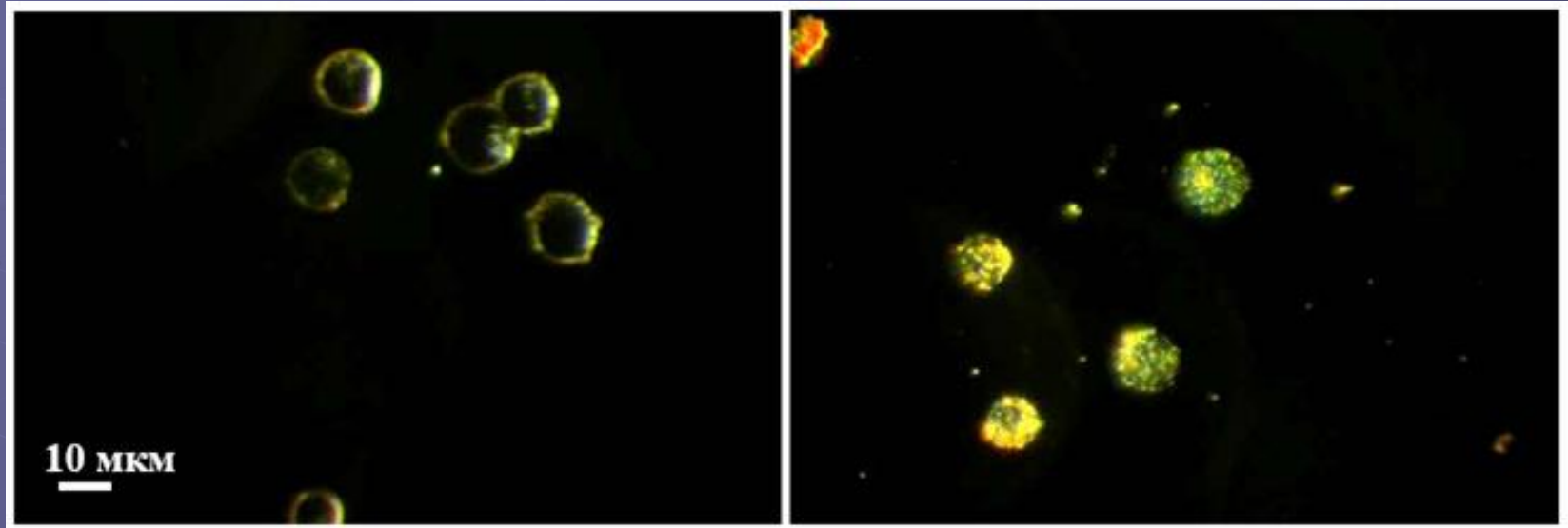


Метод тёмного поля в проходящем свете



в отсутствии препарата
свет не попадает в
объектив

свет дифрагирует на
неоднородностях
препарата и
попадает в объектив

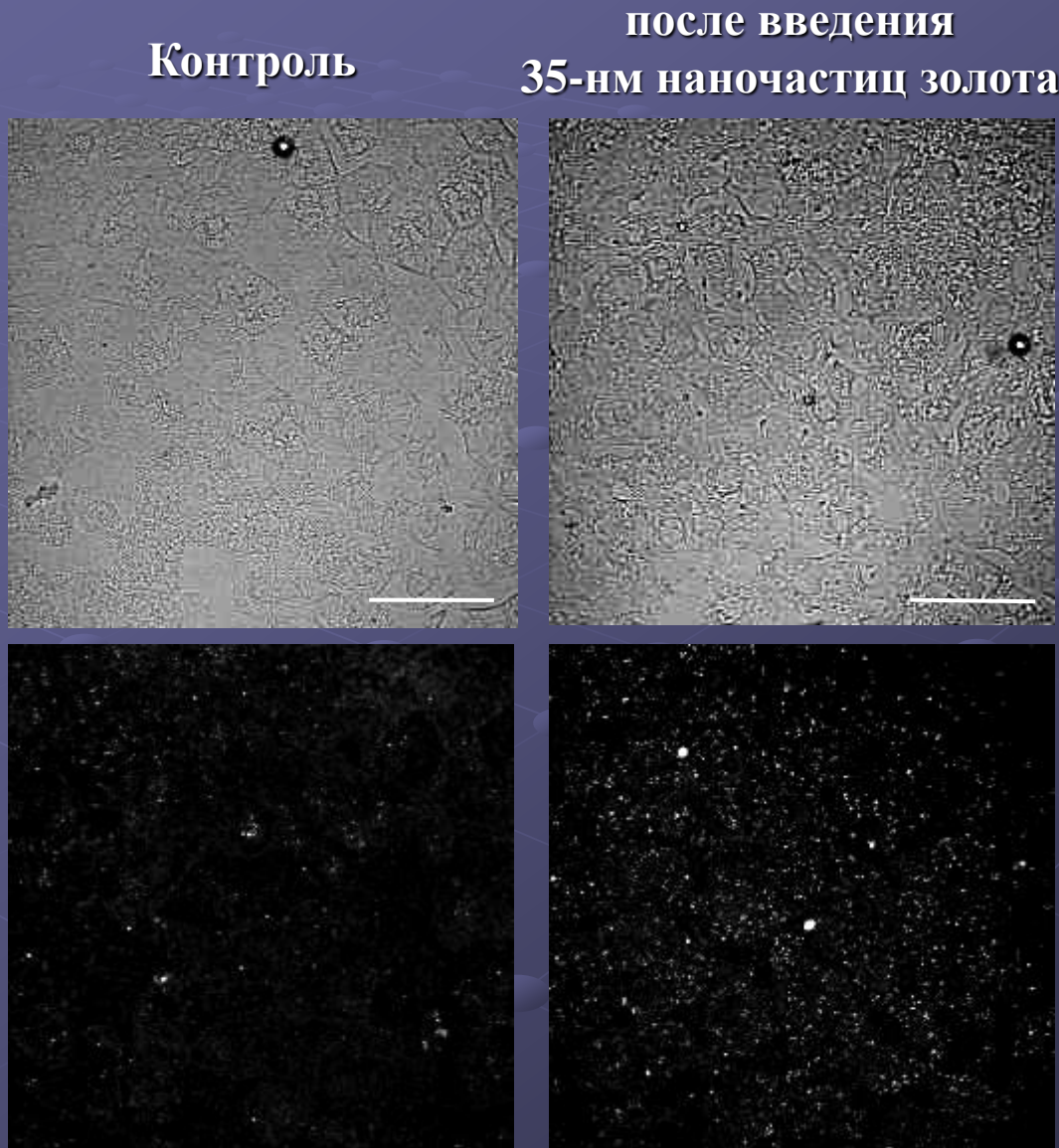


без наночастиц

после введения
наночастиц серебра
(10-50 нм)

Изображения эритролейкозных клеток K562, полученные
с помощью оптической микроскопии темного поля

Конфокальная микроскопия рассеяния света срезы печени мыши

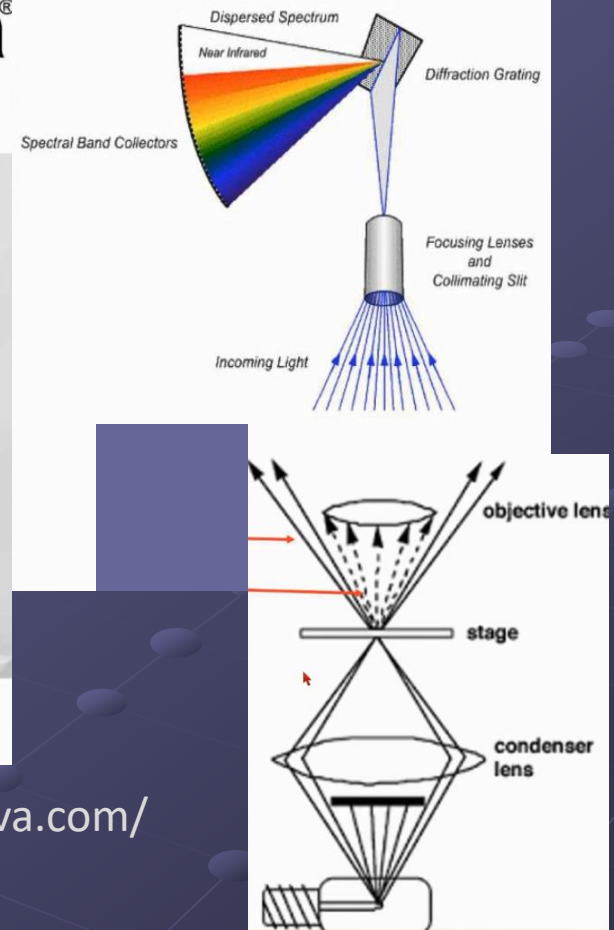
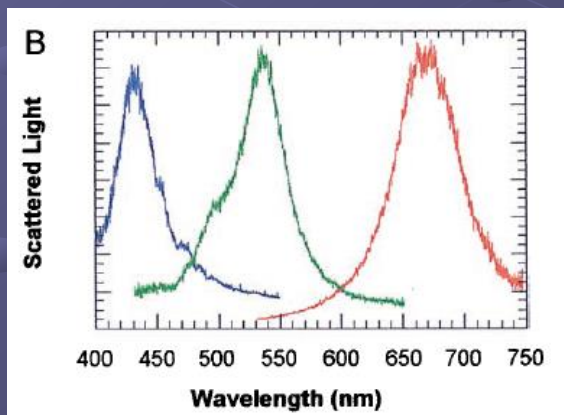
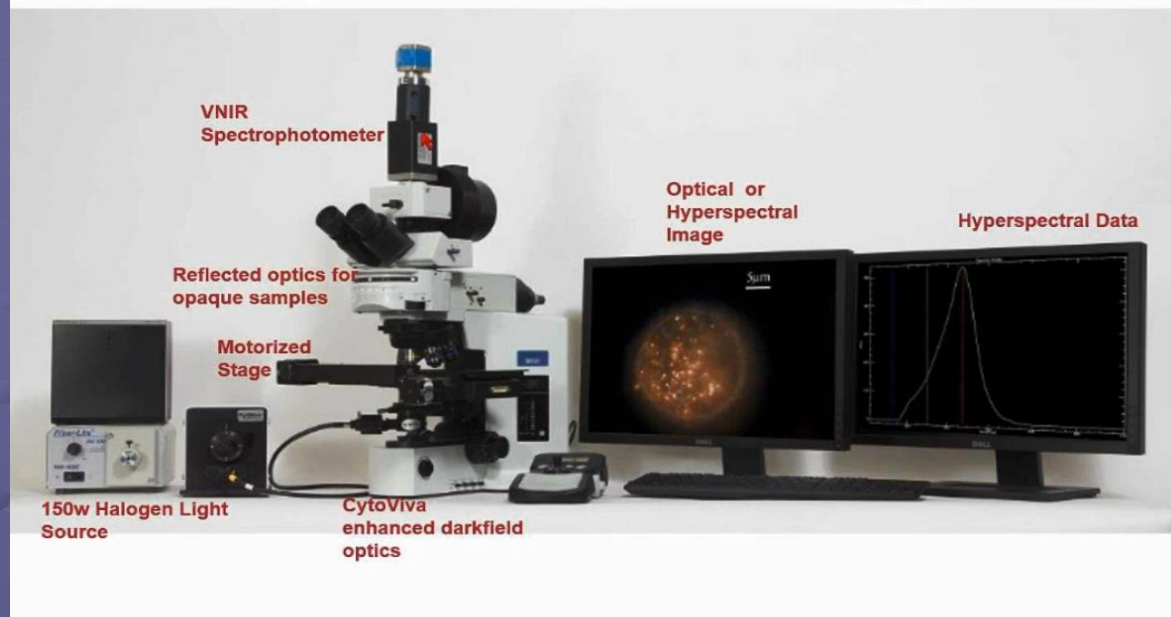


Dark-field hyperspectral imaging analysis

NOW SHARING

CytoViva®

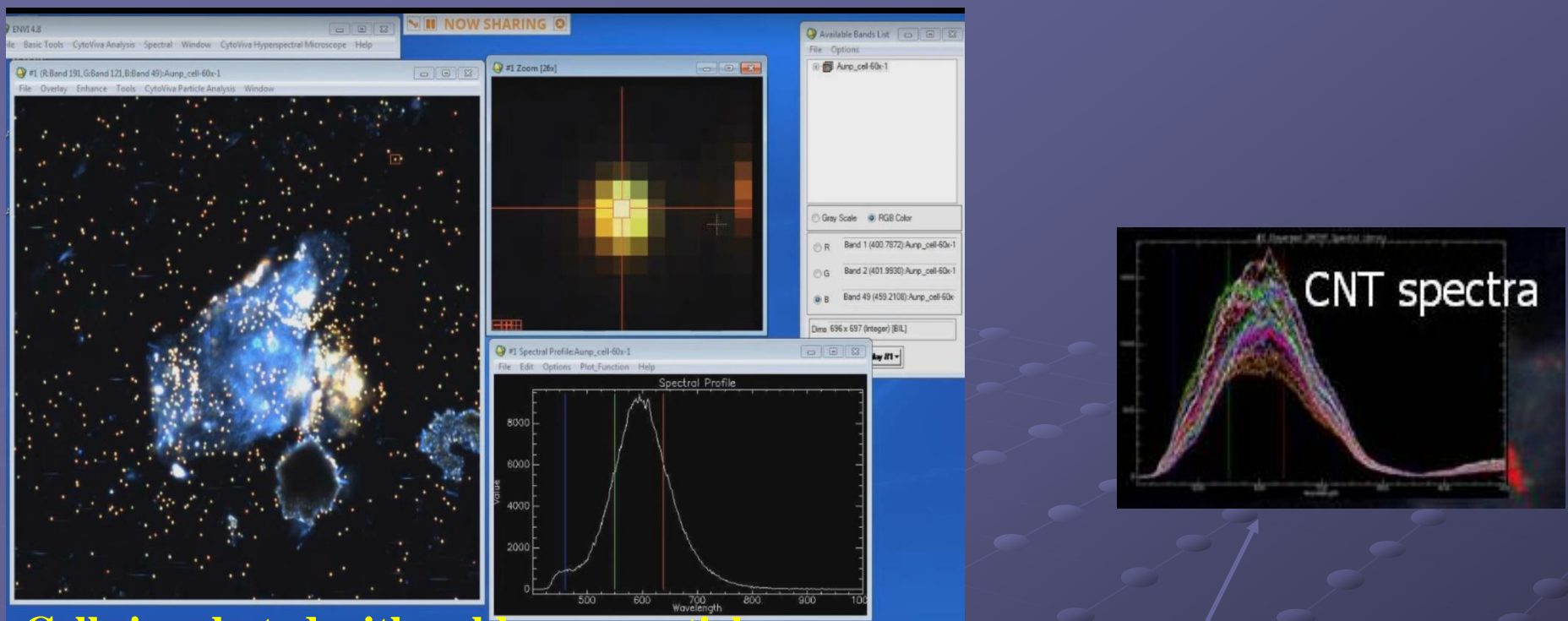
CytoViva System



<http://cytoviva.com/>

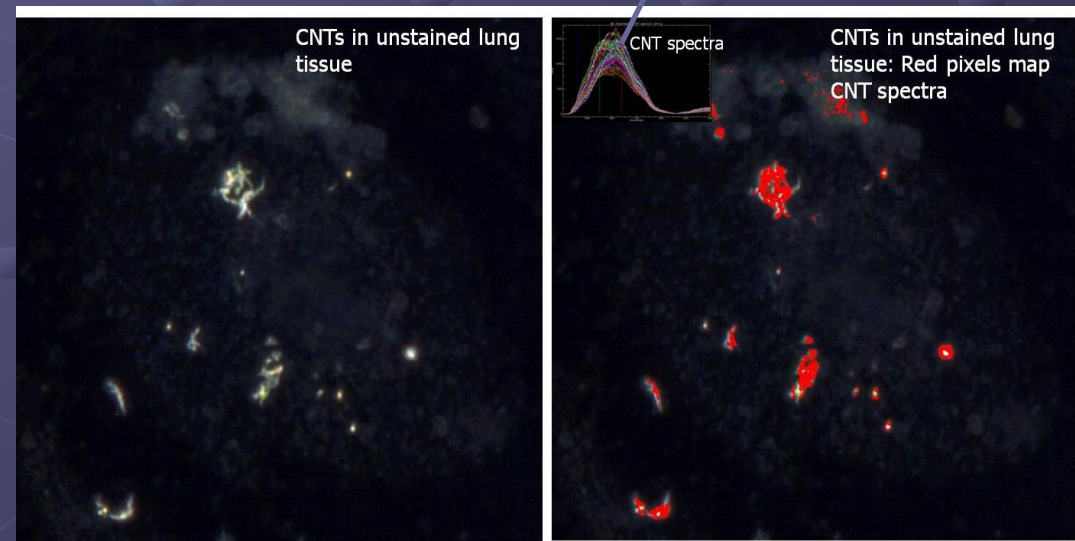
Профили упругого рассеяния
света наночастицами золота
различного размера

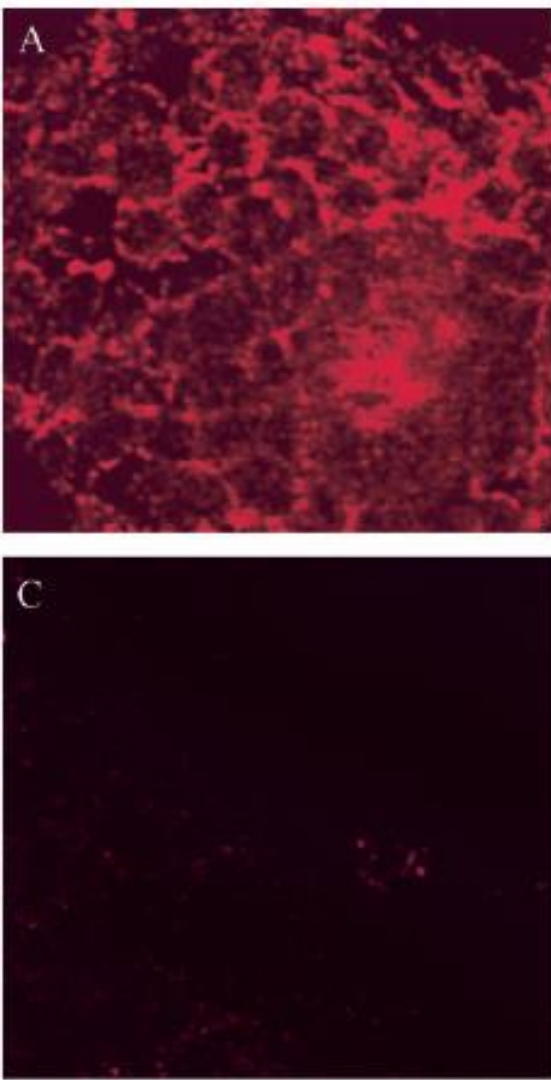
Schultz et al. PNAS 2000



Cells incubated with gold nanoparticles

carbon nanotubes in unstained lung tissues

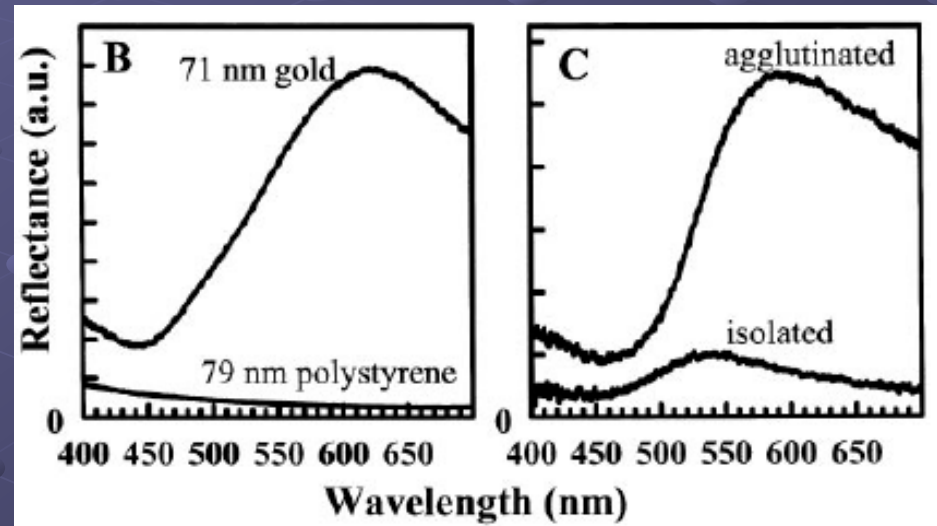




Антигены на EGFR конъюгируют с наночастицами золота (12 нм).

Антигелами «окрашивали» предраковые и нормальные биопробы тканей шейки матки

Методом конфокальной микроскопии светорассеяния регистрировали распределение наночастиц золота.

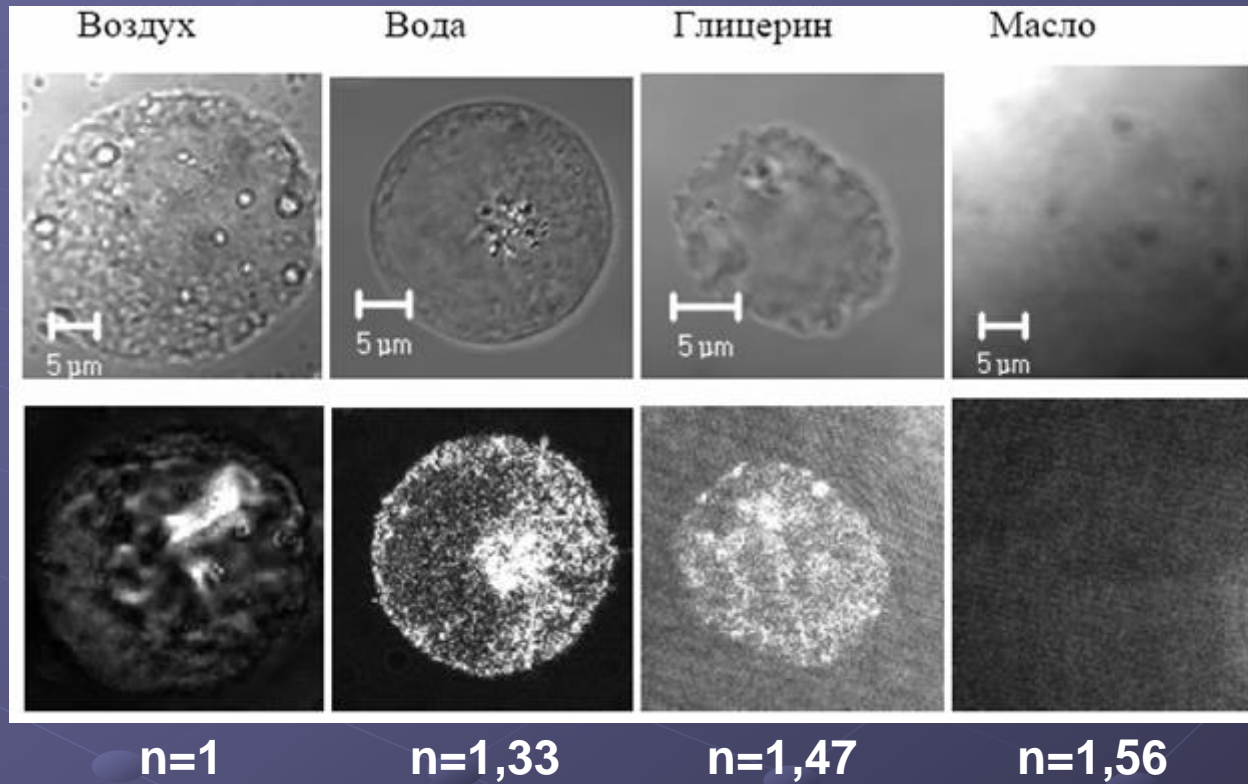


Sokolov et al. Cancer Res. 2003

В: Профили упругого рассеяния света наночастицами золота и полистирольными наночастицами

С : Возрастание интенсивности упругого рассеяния света при слипании 12 нм наночастиц золота

Пробоподготовка, уменьшающая собственное светорассеяние клеток: фиксация, высушивание на стекле, аккуратная промывка для удаления кристаллов соли и выравнивание показателя преломления

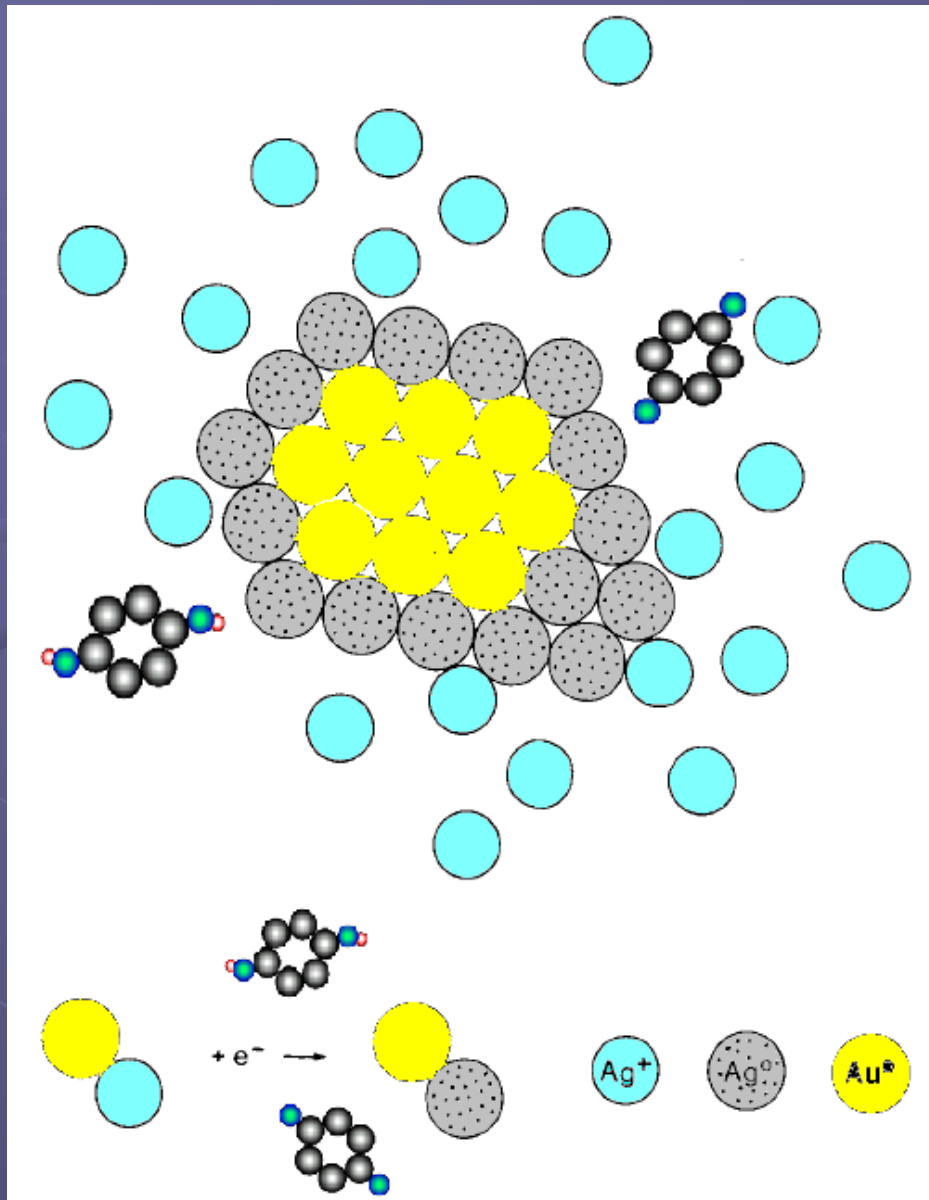


Фиксаторы

Рекомендуются - параформальдегид, метанол.

Не рекомендуются - формалин, глутаровый альдегид

Автометаллография



- благородные металлы (Ag, Au)
- тяжелые металлы (Cu, Zn, Fe, Cd)
- оксиды тяжелых металлов (ZnO , CuO , Fe_2O_3 , CdO)

Автометаллография наночастиц благородных металлов (серебро, золото, платина) в срезах тканей

Приготовление срезов для автометаллографирования:

Предпочтительно – криостатные срезы 10-30 мкм

Возможно – парафиновые срезы 10-30 мкм

Процедура автометаллографирования

Готовится «проявитель»

раствор А - 60 мл 33% раствора гуммиарабика и 10 мл цитратного буфера (0,25 мг/мл лимонной кислоты, 0,24 мг/мл цитрата натрия);

раствор Б - раствор гидрохинона 60 мг/мл;

раствор В - лактата серебра 8 мг/мл

A : B : V = 7 : 1,5 : 1,5

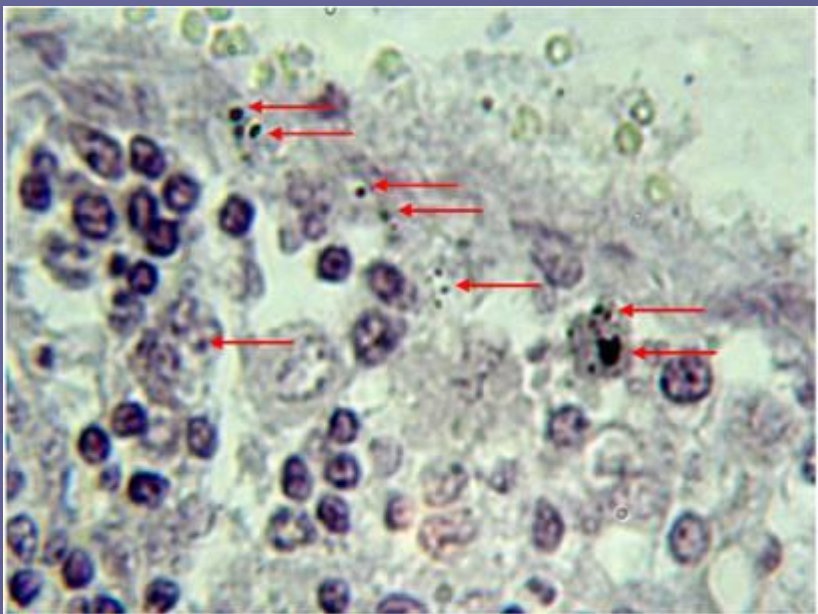
Срез инкубируется в «проявителе» в полной темноте (1 ч, 26 °C)

Промывка среза водой

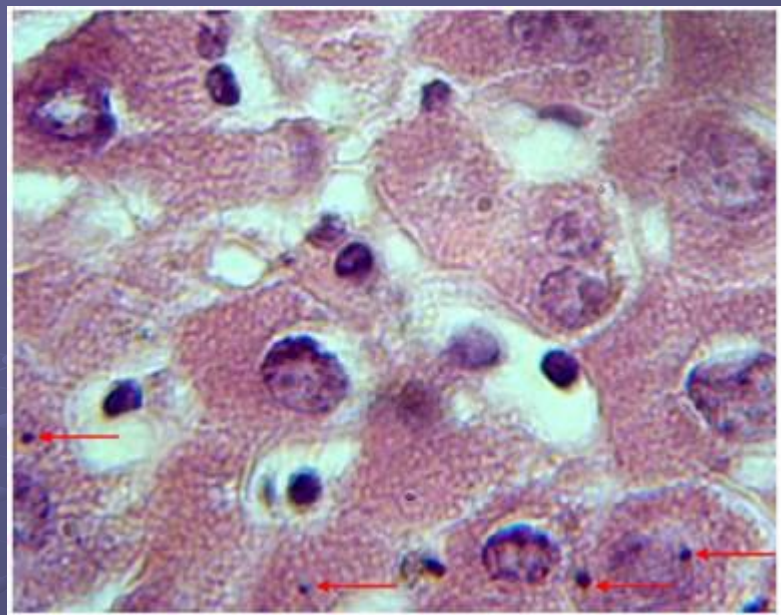
«Фиксация» в 5% тиосульфате натрия 10 мин

Промывка проточной водой 20 минут.

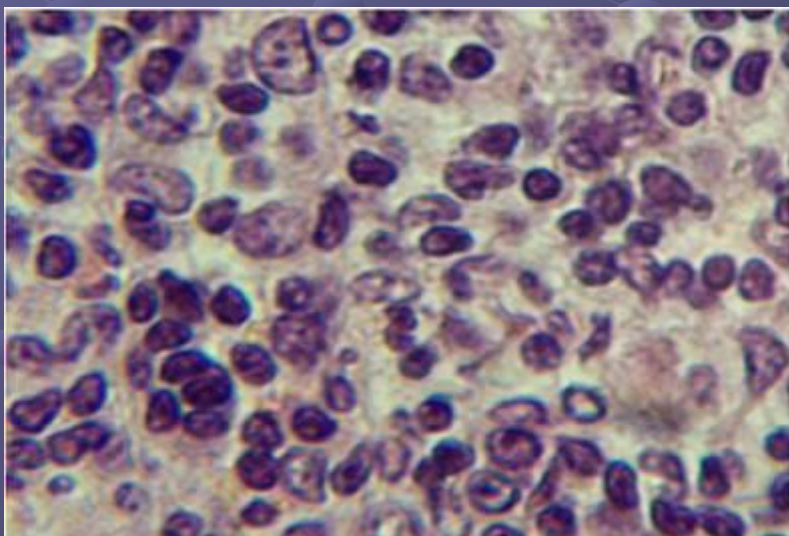
Гистохимическое окрашивание гематоксилином и эозином



наночастицы серебра (11 нм) в срезе лимфатического узла мыши после автометаллографирования и гистохимического окрашивания

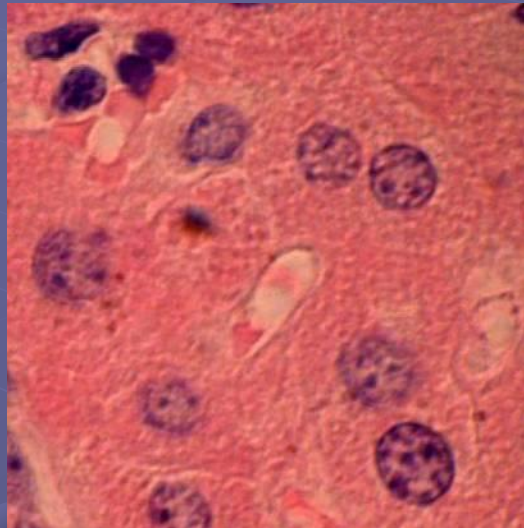


наночастицы золота (35 нм) в срезе печени мыши после автометаллографирования и гистохимического окрашивания

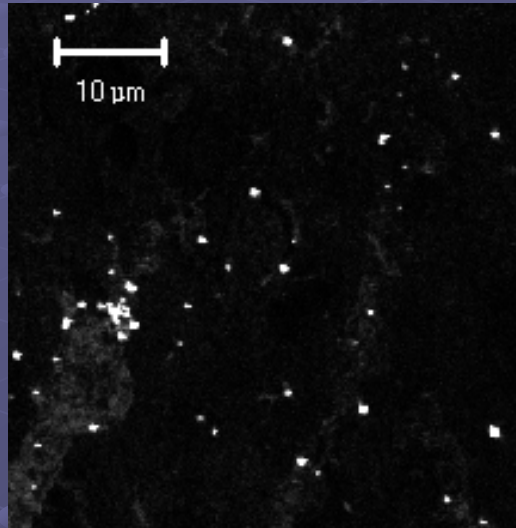


контрольный срез лимфатического узла после автометаллографирования и гистохимического окрашивания

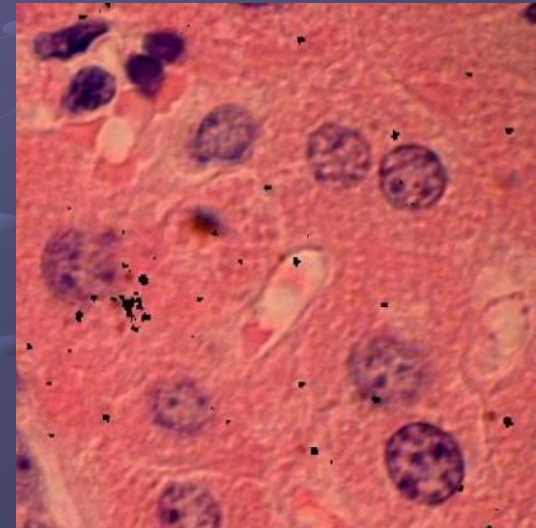
Комбинирование методов проходящего белого света и ЛСКМ в режиме регистрации светорассеяния от наночастиц серебра.



Светлое поле



ЛСКМ в режиме рассеяния



Наложение

Срезы после процедуры автометаллографии и окрашивания гематоксилин-эозином

Автометаллография наночастиц металлов, таких как цинк, медь, свинец, и их оксидов металлов в срезах тканей

Предварительно требуется сульфидирование или селенидирование поверхности наночастиц

Сульфидирование поверхности наночастиц

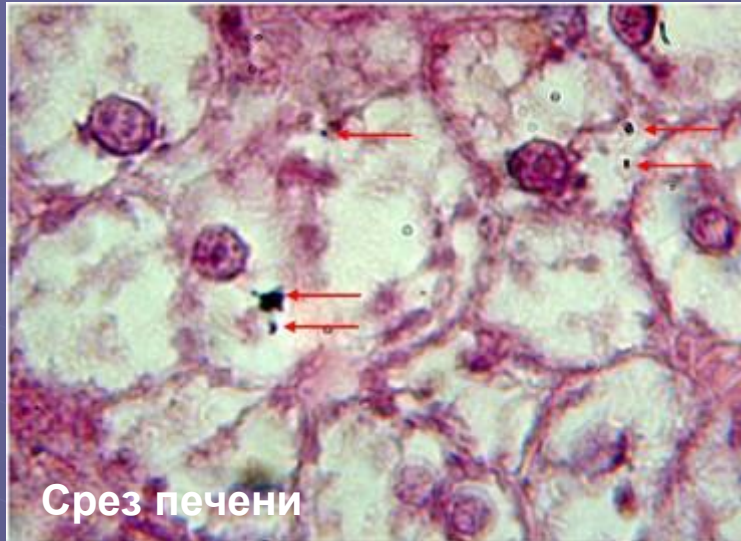
Срезы инкубируют (3 дня, 4 °C) с сульфидирующими раствором (0,1 М буферный раствор Зоренсена pH 7,4, 0,1 % сульфида натрия, 3 % глутарового альдегида).

Отмывка фосфатным солевым буфером

Автометаллографирование серебром

Гистохимическое окрашивание

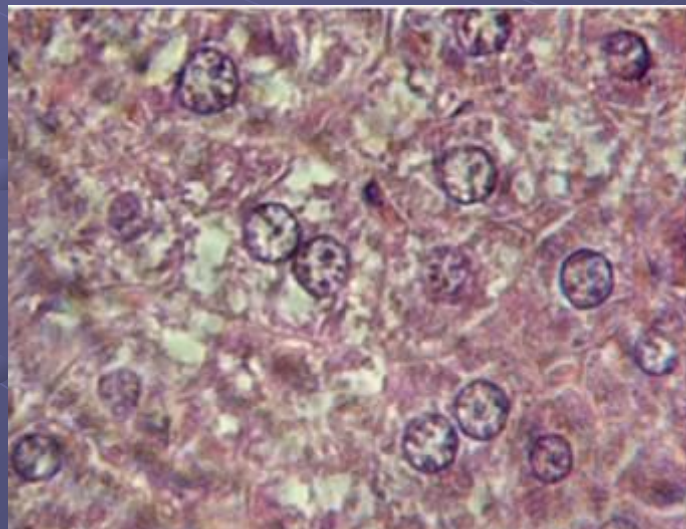
Срезы тканей мышей после инъекции наночастиц оксида цинка (50 нм), сульфидирования, автометаллографирования и гистохимического окрашивания



Срез печени



Срез лимфатического узла

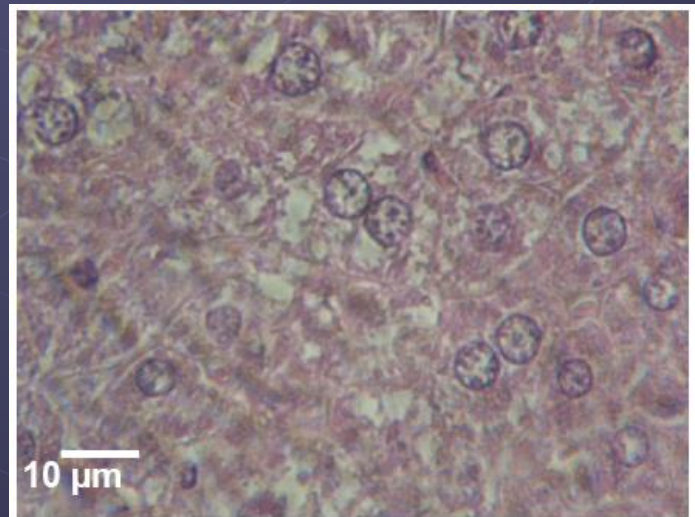
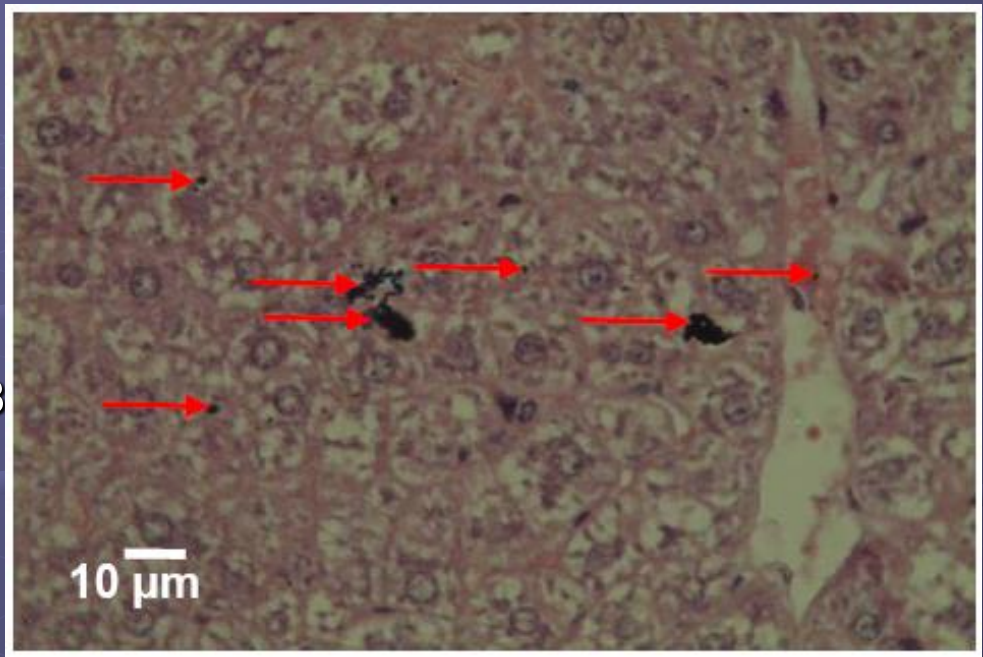


Контрольный срез печени без инъекции наночастиц после сульфидирования, автометаллографирования и гистохимического окрашивания

Источники артефактов, возникающих при автометаллографической детекции наночастиц

пробоподготовка

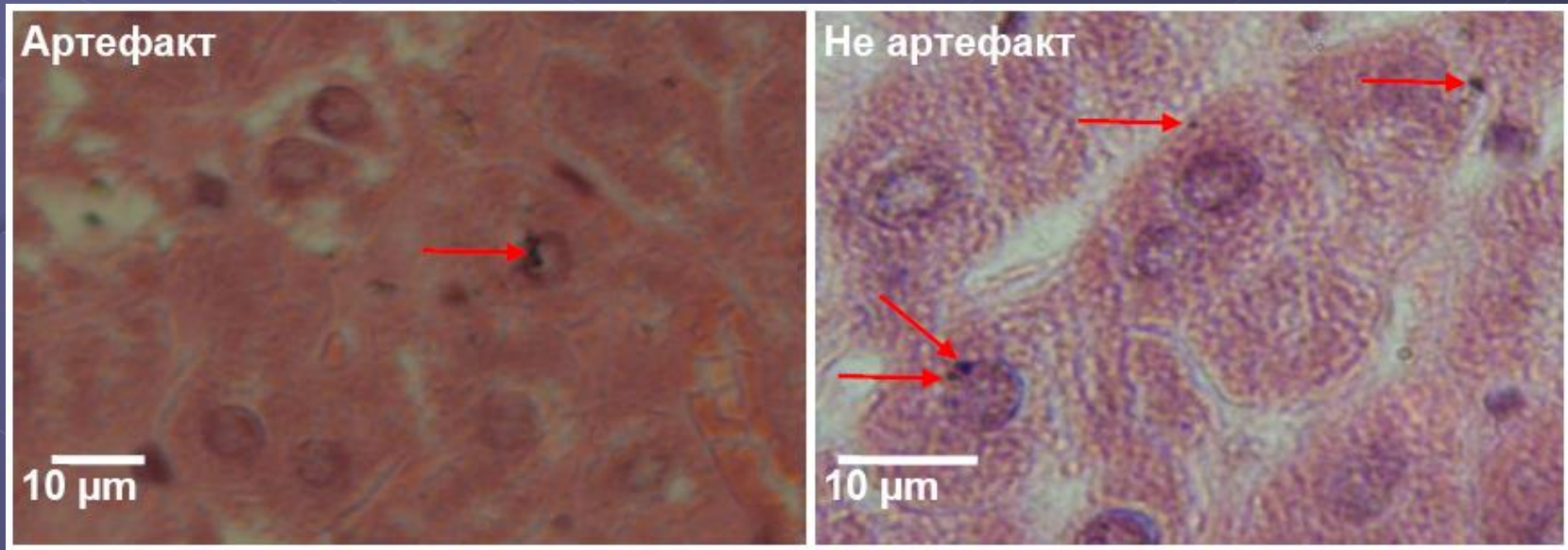
- неспецифическое осаждение серебра из раствора
- увеличение времени экспозиции;
- воздействие света на раствор;
- низкое качество реагентов

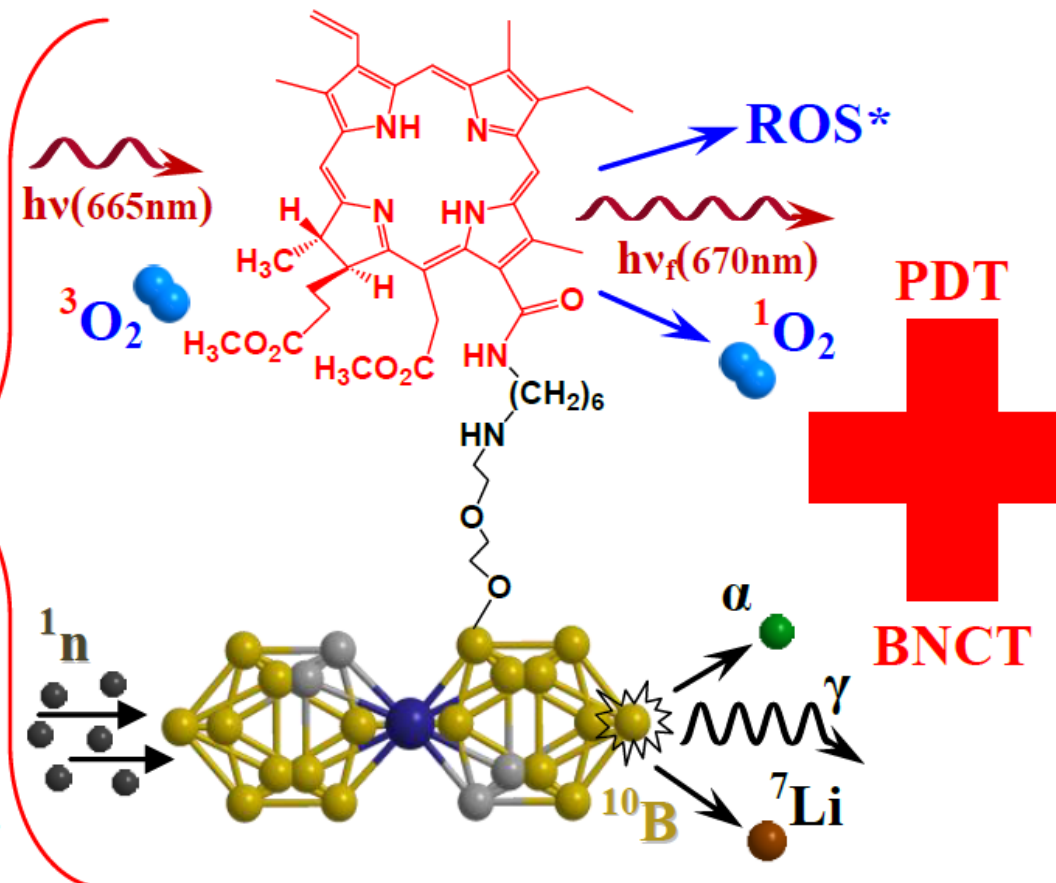
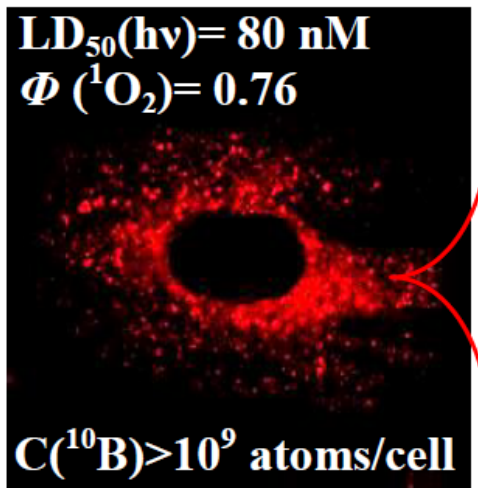


Источники артефактов, возникающих при автометаллографической детекции наночастиц

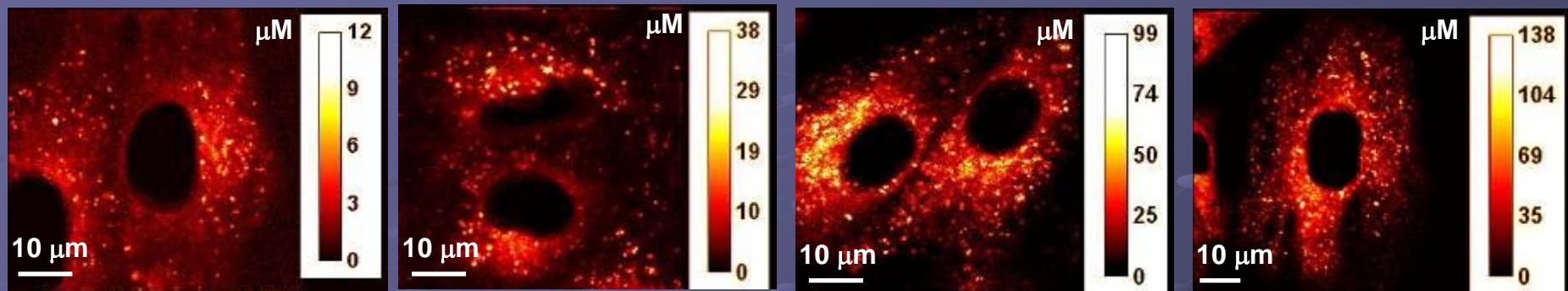
эндогенные частицы и ионы

- аргирофильные белки в ядре
- ионы железа в селезенке
- ионы цинка в тканях нервной системы





Intracellular distribution of the conjugates in A549 human lung adenocarcinoma cells

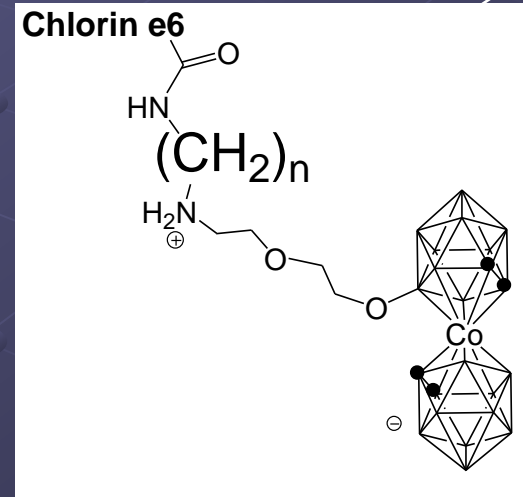
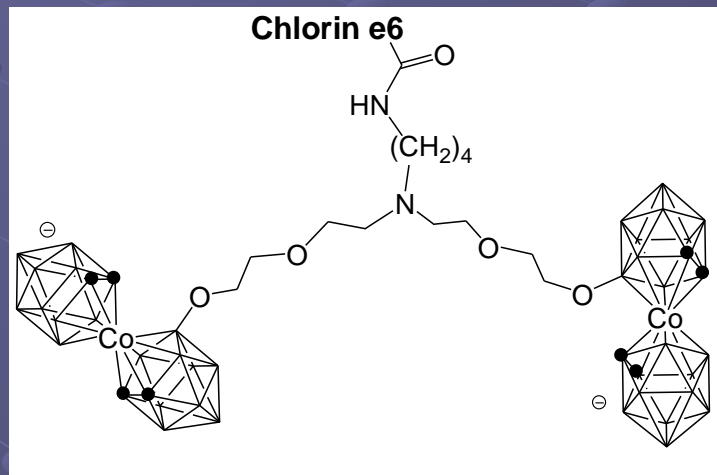


$n=4$, di[↑]

$n=2$

$n=4$

$n=6$



Incubation: $0.5 \mu\text{M}$ for 2 h
Confocal laser scanning microscopy measurements